

Máquina Afelpadora

Engranes

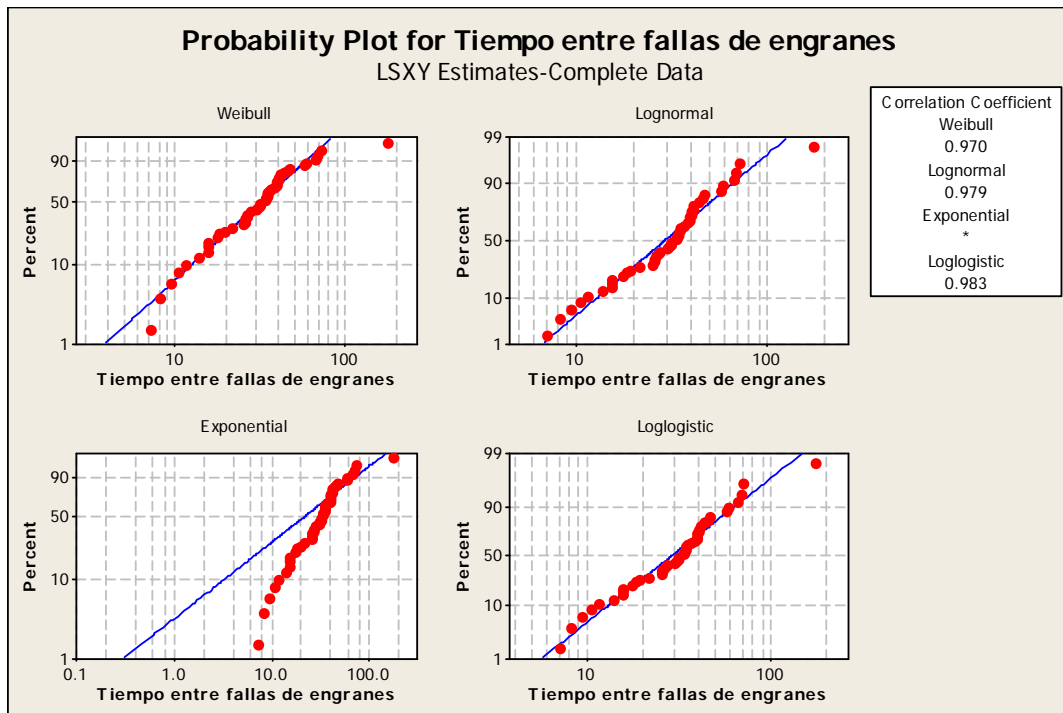


Figura 1 Análisis de distribución de engranes de la máquina de afelpado.

Goodness-of-Fit

Distribution	Anderson-Darling (adj)	Correlation Coefficient
Weibull	1.530	0.970
Lognormal	0.952	0.979
Exponential	6.128	*
Loglogistic	0.855	0.983
3-Parameter Weibull	1.069	0.985
3-Parameter Lognormal	0.906	0.979
2-Parameter Exponential	2.324	*
3-Parameter Loglogistic	0.809	0.984
Smallest Extreme Value	4.484	0.727
Normal	2.695	0.814
Logistic	1.937	0.830

Exceso de material

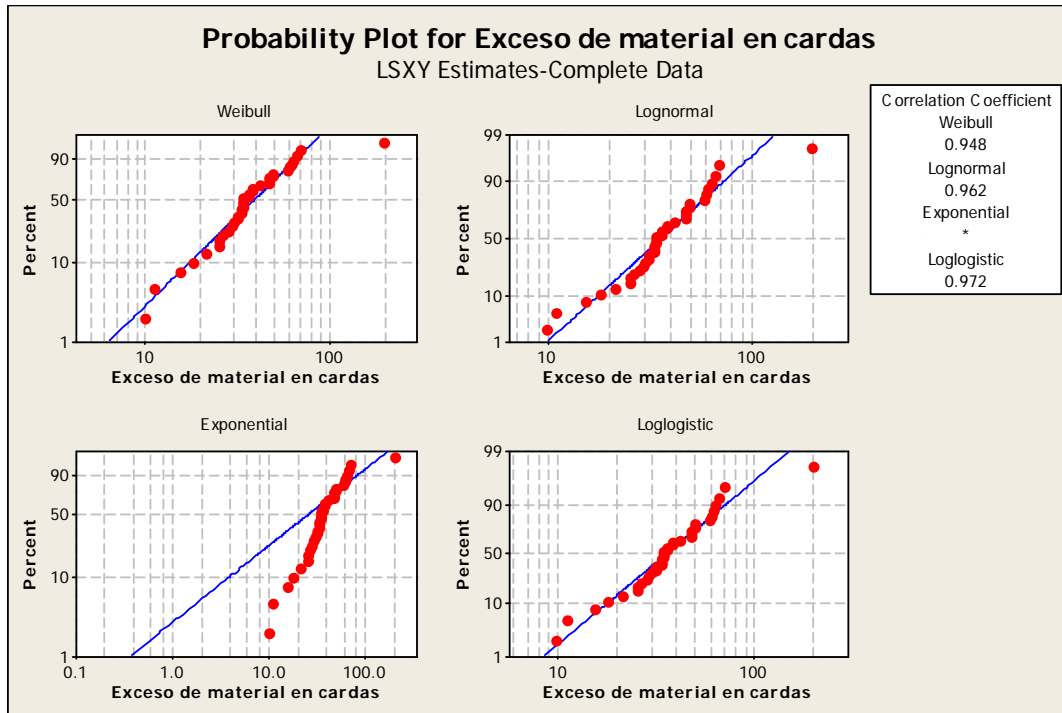


Figura 2 Análisis de distribución de exceso de material en cardas de la máquina de afelpado.

Goodness-of-Fit

Distribution	Anderson-Darling (adj)	Correlation Coefficient
Weibull	2.313	0.948
Lognormal	1.050	0.962
Exponential	6.485	*
Loglogistic	0.825	0.972
3-Parameter Weibull	1.590	0.963
3-Parameter Lognormal	1.054	0.962
2-Parameter Exponential	2.901	*
3-Parameter Loglogistic	0.836	0.972
Smallest Extreme Value	4.134	0.683
Normal	3.129	0.769
Logistic	2.250	0.787

Rodillos

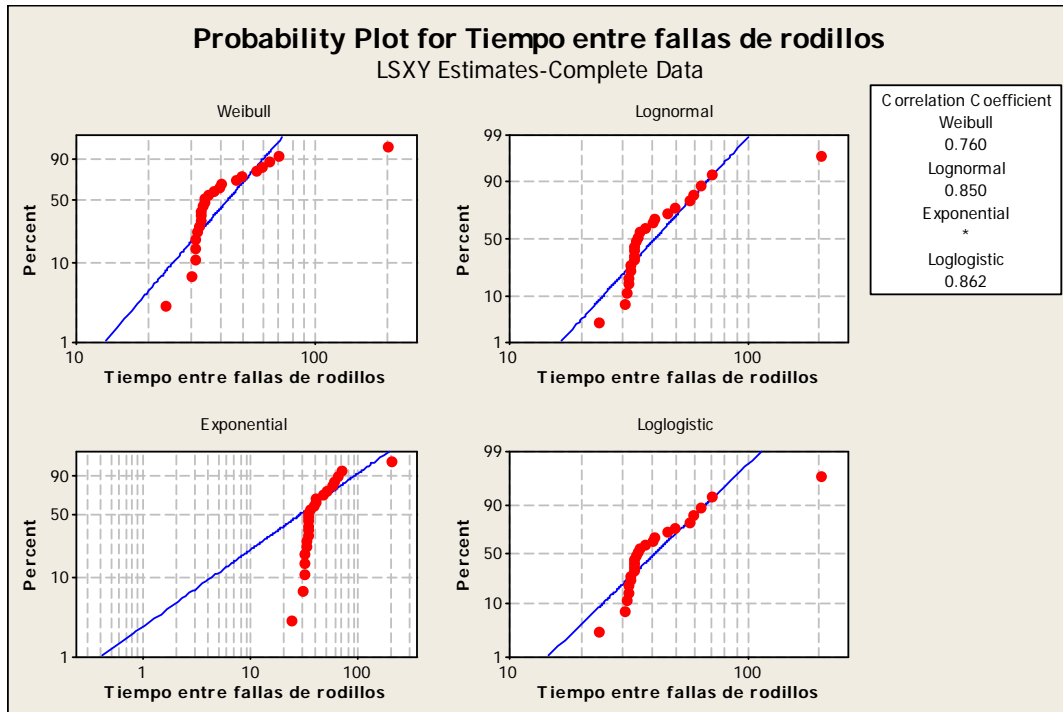


Figura 3 Análisis de distribución de rodillos de la máquina de afelpado.

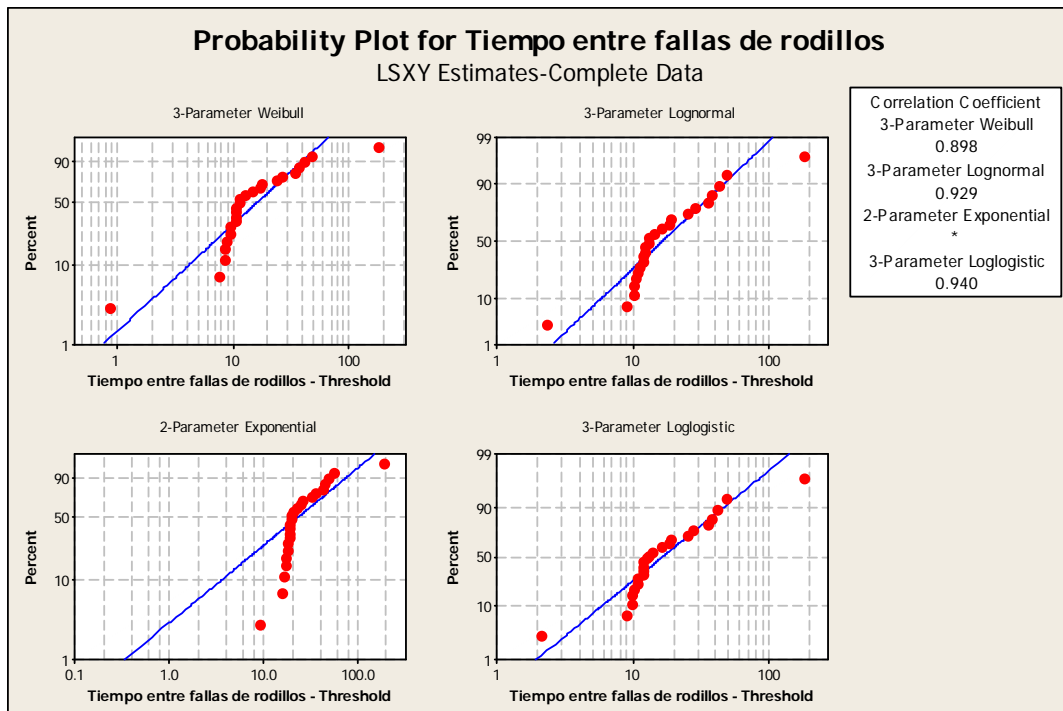


Figura 4 Análisis de distribución de rodillos de la máquina de afelpado.

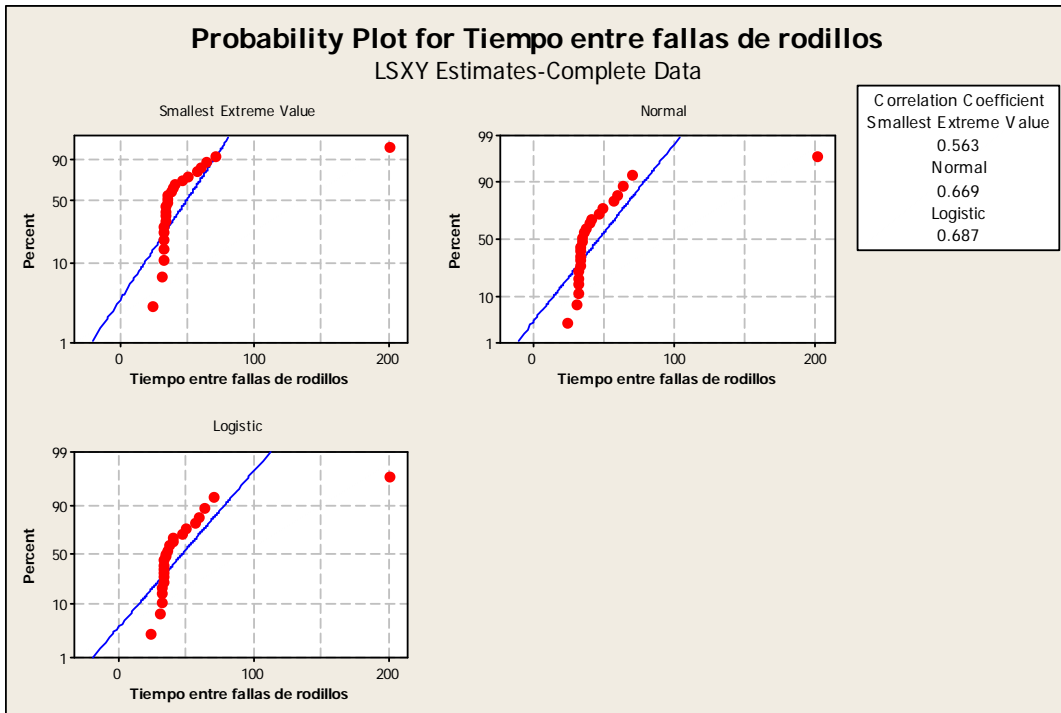


Figura 5 Análisis de distribución de rodillos de la máquina de afelpado.

Goodness-of-Fit

Distribution	Anderson-Darling (adj)	Correlation Coefficient
Weibull	5.112	0.760
Lognormal	2.562	0.850
Exponential	6.109	*
Loglogistic	2.216	0.862
3-Parameter Weibull	2.975	0.898
3-Parameter Lognormal	1.639	0.929
2-Parameter Exponential	3.412	*
3-Parameter Loglogistic	1.456	0.940
Smallest Extreme Value	6.403	0.563
Normal	5.034	0.669
Logistic	3.877	0.687

Máquina Estampadora

Bombeo de Pintura

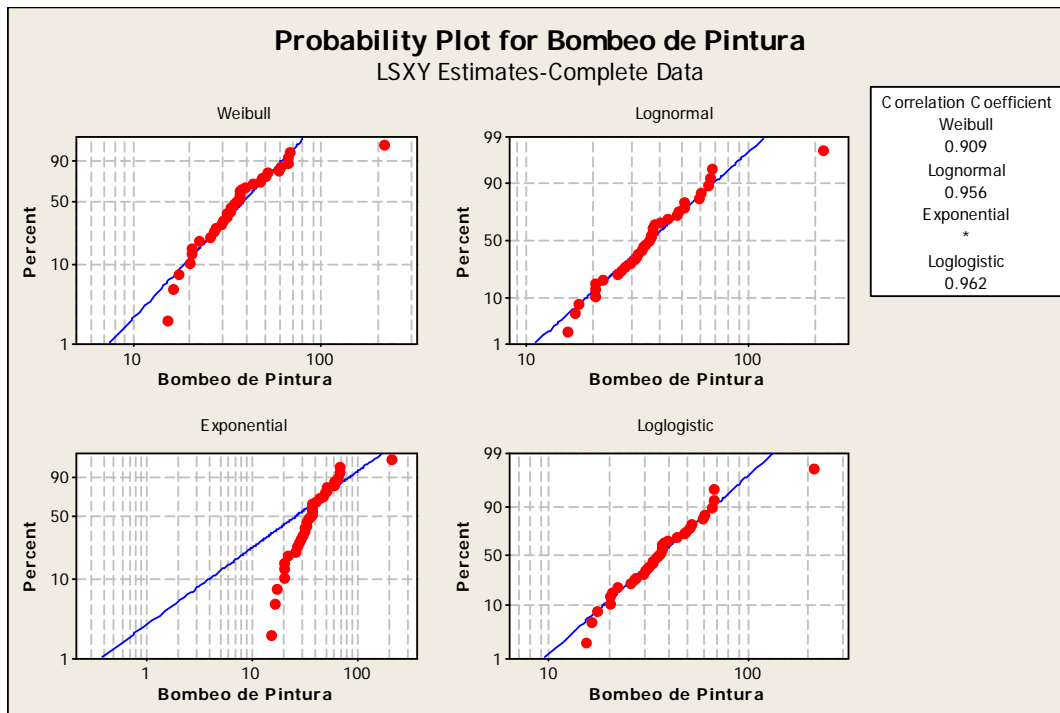


Figura 6 Análisis de distribución de bombeo de pintura de la máquina de afelpado.

Goodness-of-Fit

Distribution	Anderson-Darling (adj)	Correlation Coefficient
Weibull	2.537	0.909
Lognormal	0.886	0.956
Exponential	6.094	*
Loglogistic	0.686	0.962
3-Parameter Weibull	1.117	0.980
3-Parameter Lognormal	0.833	0.977
2-Parameter Exponential	2.148	*
3-Parameter Loglogistic	0.718	0.982
Smallest Extreme Value	4.720	0.632
Normal	3.769	0.727
Logistic	2.713	0.745

Ruptura de Baleros

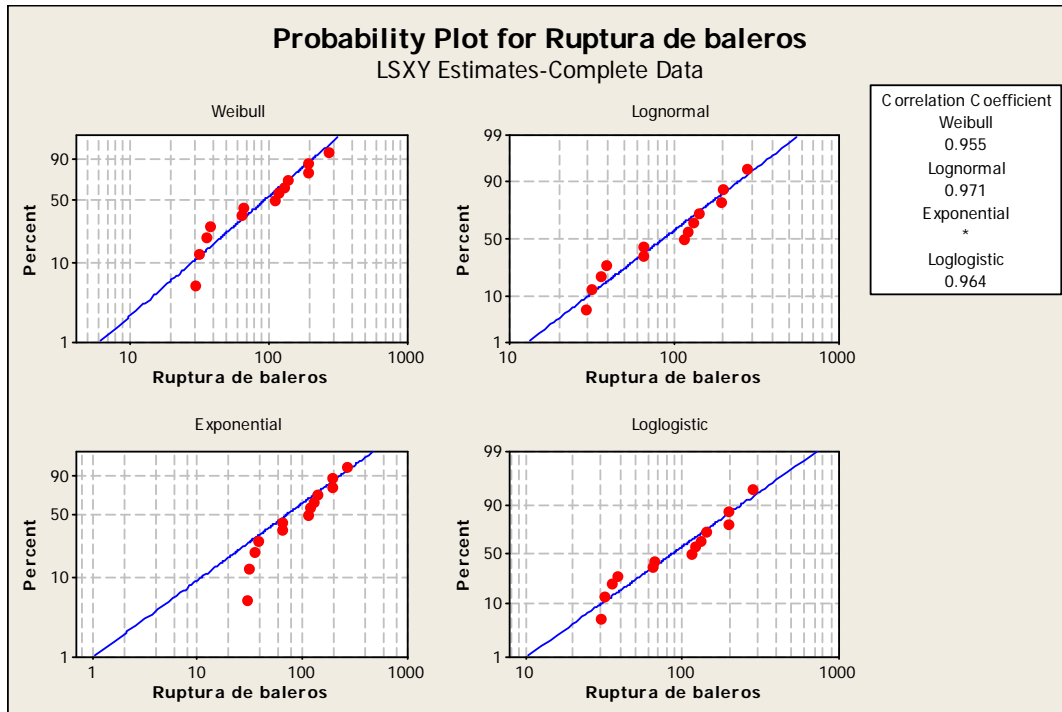


Figura 7 Análisis de distribución de ruptura de baleros de la máquina de afelpado.

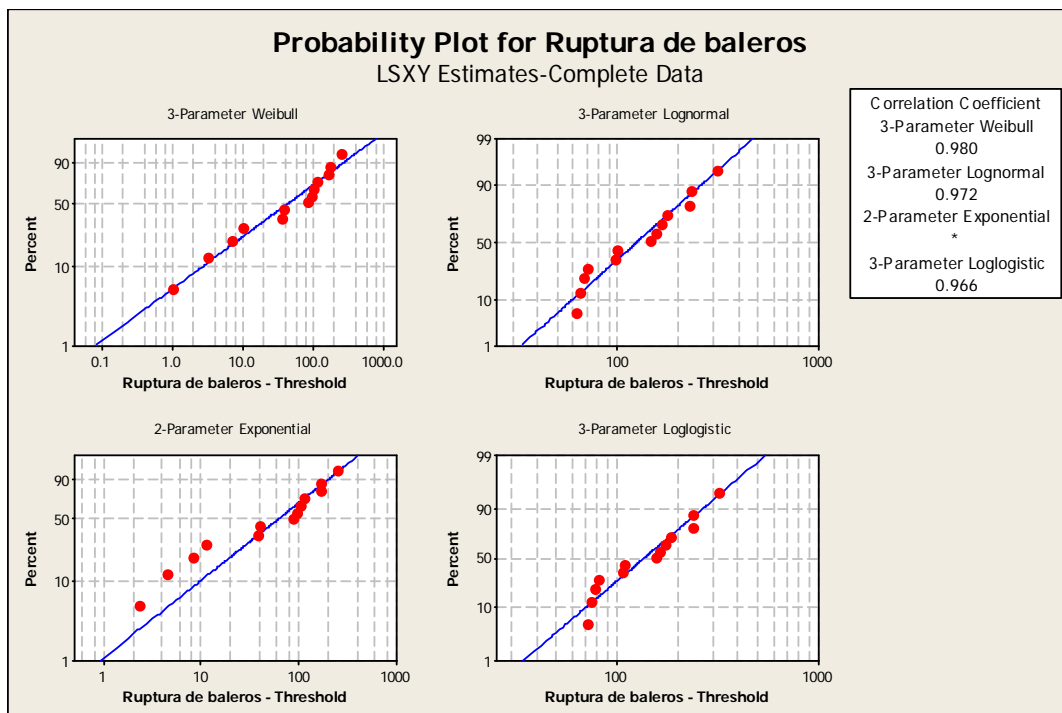


Figura 8 Análisis de distribución de ruptura de baleros de la máquina de afelpado.

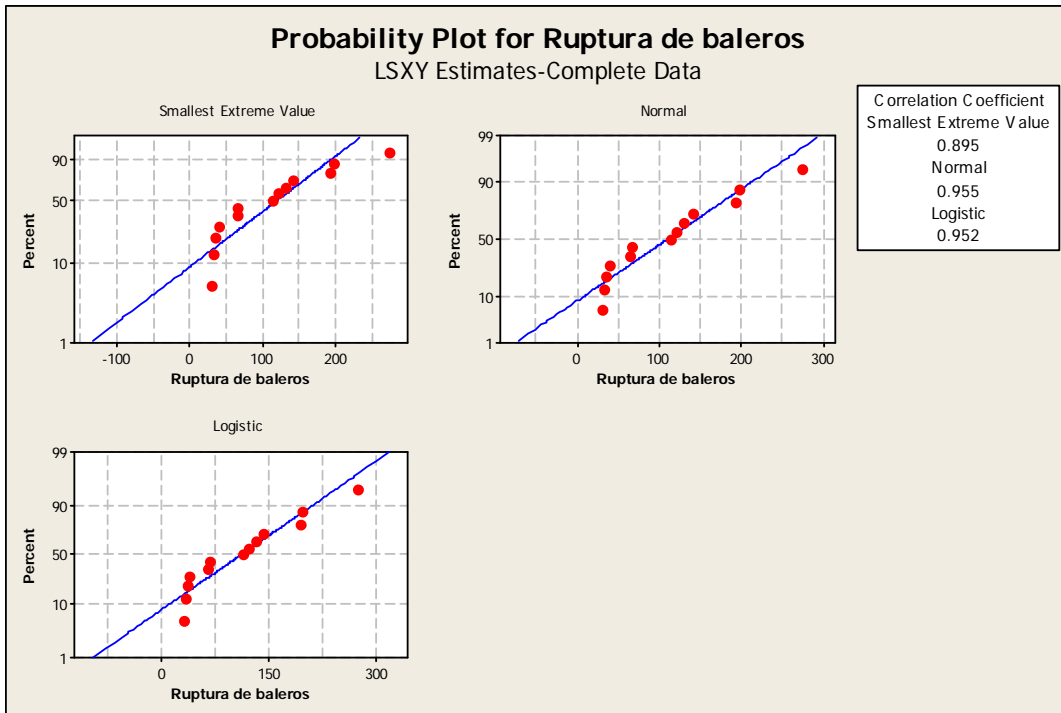


Figura 9 Análisis de distribución de ruptura de baleros de la máquina de afelpado

Goodness-of-Fit

Distribution	Anderson-Darling (adj)	Correlation Coefficient
Weibull	1.329	0.955
Lognormal	1.254	0.971
Exponential	1.857	*
Loglogistic	1.328	0.964
3-Parameter Weibull	1.236	0.980
3-Parameter Lognormal	1.223	0.972
2-Parameter Exponential	1.319	*
3-Parameter Loglogistic	1.276	0.966
Smallest Extreme Value	2.401	0.895
Normal	1.322	0.955
Logistic	1.296	0.952